# 水磷耦合烤烟养分吸收分配规律研究

汤 宏1,曾掌权2,李向阳1,王建伟1,邓 洁1,刘伦沛1,严红光1

(1. 凯里学院大健康学院,贵州 凯里 556011; 2. 湖南衡山森林生态系统定位观测研究站湖南省林业科学院,长沙 410004)

摘要: 为探究烤烟适宜的水磷耦合模式及其对氮、磷、钾养分吸收积累的影响。采用田间小区试验,试验设 置 3 种灌水水平和施磷水平,分别为低水(W<sub>1</sub>:0.50 L/株)、中水(W<sub>2</sub>:1.00 L/株)、高水(W<sub>3</sub>:2.00 L/株)和 低磷(P<sub>1</sub>:32 kg/hm<sup>2</sup>),中磷(P<sub>2</sub>:64 kg/hm<sup>2</sup>),高磷(P<sub>3</sub>:96 kg/hm<sup>2</sup>),研究了不同施磷量和灌水量条件下烤 烟对氮磷钾养分吸收积累的影响。结果表明:施磷量相同时,灌水处理能够明显增加烟株对氮、磷、钾养分 的吸收积累量,表现为: $W_3P_i>W_2P_i>W_1P_i>CK_i$ (其中i=1或2或3);当灌水量相同时,增加施磷量也 有利于烟株对氮磷钾养分的吸收积累,且在施磷水平为  $96 \text{ kg/hm}^2$  时表现较好,表现为: $\mathbf{W}_i \mathbf{P}_3 > \mathbf{W}_i \mathbf{P}_2 > \mathbf{W}_i$  $P_1$ ;高磷水平下,灌水量为 1.00,2.00 L/株时, $W_3$   $P_3$  和  $W_2$   $P_3$  处理烟株对氮磷钾养分的吸收积累量差异不 显著;烟株和根、茎、叶各器官对钾的吸收量高于氮和磷,氮、磷、钾在根、茎、叶器官中的分配顺序呈现叶> 茎>根的变化规律;在烟株的不同生育期,对养分的吸收积累量和积累强度存在差异。烟株对养分的吸收 积累主要在旺长期,烟叶是养分的主要吸收积累器官;施磷量为 96 kg/hm²,灌水量为 1.00~2.00 L/株的 水磷耦合处理在促进烟株对氮磷钾养分的吸收积累方面效果较好。烤烟施肥中要注意调整氮磷钾的施用 比例和水磷耦合配比。

关键词:水磷耦合;烤烟;养分;吸收;分配

中图分类号:S572 文献标识码:A 文章编号:1009-2242(2019)02-0294-09

**DOI**:10. 13870/j. cnki. stbcxb. 2019. 02. 045

# Studieson on Nutrients Uptake and Distribution of Flue-Cured **Tobacco with Water-Phosphorus Coupling**

TANG Hong<sup>1</sup>, ZENG Zhangquan<sup>2</sup>, LI Xiangyang<sup>1</sup>, WANG Jianwei<sup>1</sup>,

DENG Jie<sup>1</sup>, LIU Lunpei<sup>1</sup>, YAN Hongguang<sup>1</sup>

(1. School of Life and Health Science, Kaili University, Kaili, Guizhou 556011;

2. Hengshan Research Station of Forest Ecosystem, Hunan Academy of Forestry, Changsha 410004)

Abstract: In this study, the optimal pattern for water-phosphorus coupling and its influences on Nitrogen (N), Phosphorus (P) and Potassium (K) uptake and accumulation of flue-cured tobacco were studied, which provided scientific basis for the rational use of water-fertilizer resources in Qiandongnan prefecture tobacco land, Guizhou province. Three irrigation rates: 0.50 L/plant (W<sub>1</sub>), 1.00 L/plant (W<sub>2</sub>) and 2.00 L/plant (W<sub>3</sub>), and three P fertilizer application rates: 32 kg/hm<sup>2</sup>(P<sub>1</sub>), 64 kg/hm<sup>2</sup>(P<sub>2</sub>) and 96 kg/hm<sup>2</sup>(P<sub>3</sub>) were set in this field plot experiment. The results showed that, at the same P application rate, N, P and K uptake and accumulation of tobacco plant were significantly increased by irrigation. The order of N, P and K uptake and accumulation of each treatment was as follows:  $W_3P_i > W_2P_i > W_1P_i > CK_i$  (i = 1 or 2 or 3). At the same water irrigation level, N, P and K uptake and accumulation of tobacco plant increased as P application rates increased. The P application rate of 96 kg/hm<sup>2</sup> was beneficial for N, P and K uptake and accumulation. The order of N, P and K uptake and accumulation was as follows:  $W_iP_3>W_iP_1$ . Under high P application treatment, irrigation rate of 1.00~2.00 L/plant, N, P and K uptake and accumulation were not significantly different between W<sub>3</sub>P<sub>3</sub> and W<sub>2</sub>P<sub>3</sub> treatment. The K uptake and accumulation of tobacco plant, leaf, stem and root were higher than N and P. The order of N, P and K distributed in root, stem and leaf was as follows: leaf>stem>root. The N, P and K uptake, accumulation and accumulation intensities of tobacco

收稿日期:2018-11-08

**资助项目:**贵州省科学技术基金项目(黔科合 LH字[2014]7220);贵州省教育厅特色重点实验室项目(黔教合 KY字[2017]011)

第一作者:汤宏(1974—),男,湖南益阳人,副教授,博士,主要从事土壤化学与生态环境、土壤肥力研究。E-mail:13077315255@126.com

通信作者:曾掌权(1976—),男,湖南益阳人,副研究员,博士,主要从事土壤生态研究。E-mail:zzq7601@126.com

李向阳(1984—),男,湖北荆州人,副教授,博士,主要从事土壤微生物研究。E-mail:397310815@qq.com

plant were different at different growth stages. Nutrients uptake and accumulation of tobacco plant occurred mainly at tobacco leaf and vigorous growth stages. The P application rate of 96 kg/hm² and irrigation rate of 1.00~2.00 L/plant were suitable for N, P and K uptake and accumulation of tobacco plant. The optimal application rates of N, P and K fertilizers and water and phosphorus coupling should be paid attention to adjust in fertilizer application of tobacco.

Keywords: water-phosphorus coupling; flue-cured tobacco; nutrients; uptake; distribution

水和肥是作物生长的两大重要限制因子。有研 究[1]表明,水分通过影响烟株体内诸多生理生化反应 影响烟株根系的生长、植株形态的建成和生理特性的 变化[2],影响烟株干物质的积累和生化反应代谢酶的 活性[3],最终影响烟株的生长、产量和品质。磷肥能 提高作物根系活力、活跃吸收面积和总吸收面积[4], 影响烟株根系构型和农艺性状,提高叶片中叶绿素的 含量,增加光合作用强度,加速光合产物的积累[5],增 强作物的抗逆能力,促进作物穗粒增多、籽粒饱满,提 高作物产量[6]。两者之间的适宜用量对提高水肥利 用效率和促进作物生长发挥着重要作用。有关水磷 耦合效应的研究[7]表明,在水分相同的条件下,拔节 期适量施用磷肥可以提高小麦的水分利用效率,植株 能有效地从形态与生理代谢等方面表现出积极响应, 提高生长的适应性,从而增强抗旱能力。水分亏缺与 过量均不利于作物对磷素的吸收利用,适量的水分条 件下可提高作物对磷肥的吸收和利用率[8]。可见,水 分和磷肥二者既相互关联又相互制约,水磷耦合实质 是以水促肥,以肥调水,提高水分和肥料的利用率,使 水分和肥料发挥其最大的生产效益。

黔东南州是贵州省重要的烤烟种植区之一,2016 年烤烟种植面积约 2.35 万 hm<sup>2</sup>。但黔东南州属于典 型的山地烟区,烟田以坡耕地为主,水肥短缺且时空 分布不均,水土流失较为严重,这在一定程度上制约 烟叶产量和品质的提升。近年来,出于节水减肥的角 度,我国烟草行业在烤烟种植上大力提倡和推行水肥 一体化技术。水肥一体化技术可以有效改善烤烟生 产过程中水肥供应不协调和耦合效应差的弊端,提高 肥料的利用率[9-10]。但目前有关黔东南州烤烟种植 方面水肥一体化的报道甚少,水磷耦合适当配比对烤 烟养分吸收分配规律影响的报道更是空白。为此,本 研究在黔东南州选择典型烟区,开展水磷耦合对烤烟 养分吸收分配规律的大田试验,旨在为提高烟草生产 中水肥利用率、节约水肥资源、探讨适合烤烟种植的 最佳水磷配比、为促进烤烟节水和减肥降本及增产提 质增效提供科学依据。

# 1 材料与方法

#### 1.1 研究区概况

试验地位于黔东南州麻江县东南部的龙山镇大

塘村,地处云贵高原向湘桂丘陵过渡的斜坡地带( $26^{\circ}$ 27′N, $107^{\circ}43'$ E),海拔885 m,属亚热带季风湿润气候区,年均气温 $14\sim16$  °C,降水量 $1200\sim1500$  mm,相对湿度80%左右,无霜期 $270\sim301$  天。大塘村是龙山镇烤烟主要种植区和烤烟种植示范村,有多个优质烟示范点。

#### 1.2 试验材料

供试烤烟品种为"云烟 87",烟苗由黔东南州麻 江县烟草专卖局(公司)统一提供。

供试化肥:尿素(含 N 46%)、过磷酸钙(含  $P_2O_5$  12%)和硫酸钾(含  $K_2O$  50%),均购自当地农资公司。

试验田土壤:中壤质黄壤,试验开始前耕层土壤有机质含量 23.36 g/kg,全氮含量 1.41 g/kg,碱解氮含量 126.31 mg/kg,全磷含量 0.79 g/kg,有效磷含量 20.26 mg/kg,全钾含量 11.27 g/kg,速效钾含量 96.25 mg/kg,pH 6.49,阳离子交换量 13.52 cmol/kg。总体上看,对烤烟种植而言,试验田土壤有效磷和速效钾略低,其他指标适宜。

### 1.3 试验设计

大田试验于 2017 年夏秋季进行,试验前茬作物为夏玉米,冬季休闲。试验田土壤肥力空间上较为均匀,排灌条件良好且配有滴灌设施。试验采取田间小区形式,设置灌水和磷肥 2 因素 3 水平,随机区组设计,并设置 3 个对照处理,共计 12 个处理,试验中各处理的灌水量和施肥量在参考以往研究的基础上适当减少 $^{[11-12]}$ 。灌水量设低、中、高 3 个水平,即 0.50, 1.00,2.00 L/株,分别用  $W_1$ 、 $W_2$  和  $W_3$  表示,磷肥设低、中、高 3 个水平,即 32,64,96 kg/hm²,分别用  $P_1$ 、 $P_2$  和  $P_3$  表示,对照  $CK_1$ 、 $CK_2$  和  $CK_3$  小区烟株生长所需水分均来自自然降水,试验田 2017 年各月降水量见图 1。各处理设置 4 次重复,共 48 个小区,随机区组排列,每个小区尺度为 4 m×9 m,并设置保护行,植烟行距为 120 cm,株距为 50 cm,各处理单排单灌,以防止串水串肥。

各处理氮肥和钾肥的施用量均为  $120,240 \text{ kg/hm}^2$ ,  $W_1P_i$ ,  $W_2P_i$ ,  $W_3P_i$ 和  $CK_i$ 处理的施磷量依次为  $32,64,96 \text{ kg/hm}^2$ , 灌水量依次为 0.50,1.00,2.00,0 L/株。磷肥在翻耕整地时作基肥一次性施用, 钾肥

和氮肥分基肥和追肥施用,钾肥和氮肥的基追比分别为4:6和6:4。作基肥的钾肥和氮肥在翻地时一次性施用,追肥分别在烟草移栽后的还苗期(5月5日即移栽后15天)和旺长期(6月4日即移栽后45天)分2次利用滴灌设施均匀浇施,第1次浇施量均为追肥的15%,于烟草的还苗期内浇施,剩余的追肥在烟草的旺长期内一次性浇施。试验地内沿烟株行铺设滴灌管,每根滴灌管前安装控制开关,每株烟株下安装1个4L/h流量的管上式滴头,灌水量由带流量的管上式滴头控制。各处理(除CK1、CK2和CK3)灌水量的10%,20%,30%和40%分别于烟草的还苗期(5月5日)、伸根期(5月25日)、旺长期前期(6月4日)和旺长期后期(6月24日)利用滴灌设施均匀滴灌。烟苗于4月20日移栽,其栽培管理措施均与当地烟草生产中所采用的管理措施完全一致。

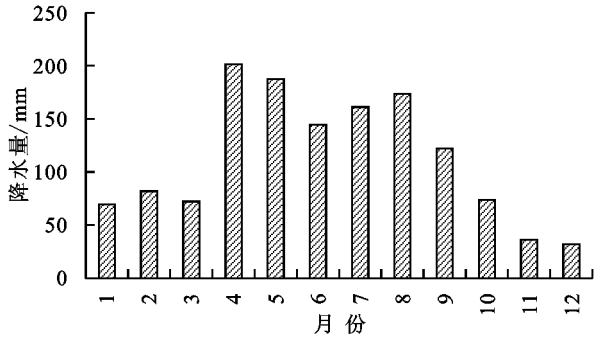


图 1 2017 年试验区各月降水量

#### 1.4 测定项目与方法

分别在烟株还苗期、伸根期、旺长期和成熟期(移 栽后第 18,40,80,110 天)采集烟株,其中还苗期和伸 根期分别随机采集烟株5株,之后每次采集3株。采 集烟株时用土铲挖取长势中等的烟株,包括烟株整个 根系,根据烟株根系实际再延伸挖坑的大小,尽量不 伤根,并在土壤中捡尽肉眼可见的根系。将烟株样品带 回实验室后,用自来水冲洗干净后再用吸水纸吸干水 分,然后用剪刀将烟株根系、茎、烟叶分开,用电子天平 分别称量三者的鲜重。称重后的烟叶、根和茎分别放入 已烘干并已称重和编号的牛皮纸文件袋内,放入105℃ 烘箱中杀青 30 min,然后在 70 ℃下烘干至恒重,再用电 子天平称取三者的干重。用植物粉碎机分别将三者磨 碎后过 0.5 mm 塑料筛制成分析样品,装入自封袋内用 于测定全氮、全磷和全钾的含量,全氮含量采用 H<sub>2</sub>SO\_ H<sub>2</sub>O<sub>2</sub> 消煮—蒸馏法测定;全磷含量采用钒钼黄比色法 测定;全钾含量采用火焰光度计法[13]测定。

各小区单独采收、编竿、烘烤和计产,记录每次各 小区产量,采收结束后将不同小区每次的产量合计, 得到每小区的产量并计算单位面积产量。

#### 1.5 数据处理与统计分析

试验数据经 Microsoft Excel 2010 软件整理后,

应用 IBM Statistics SPSS 23.0 软件进行统计分析。 方差分析多重比较采用最小显著差异法。

## 2 结果与分析

## 2.1 不同处理烤烟氮素吸收积累规律及在各器官中 的分配

2.1.1 不同处理烟株氮素吸收积累差异 由表 1 可知,不同水磷耦合处理全生育期内烟株的氮吸收积累规律相似,即烟株的还苗期和伸根期吸收氮素较少,到旺长期烟株吸氮量急剧增加,成熟期吸氮量又急剧减少,氮积累量随着烟株生长发育期的后移而逐渐增大。各处理烟株旺长期氮素积累量占总吸氮量的 91.47%~94.99%,净吸氮量占总吸氮量的 62.27%~68.19%,成熟期烟株吸氮量仅占总吸氮量的 5.01%~8.53%,说明烟株的氮吸收积累主要集中在生长的前中期,成熟期吸氮很少。

不同磷水平下, $W_i P_3$  烟株氮素吸收积累量较高, $W_i P_1$  烟株氮素吸收积累量较低。 $W_1 P_i$ 、 $W_2 P_i$ 、 $W_3 P_i$ 处理均高于  $CK_i$ 处理。 $W_i P_3$  和  $CK_3$  处理中, $W_3 P_3$ 处理吸氮量最高,为 110.38 kg/hm²,  $CK_3$  处理吸氮量最低,为 86.91 kg/hm²,  $W_i P_3$  处理吸氮量分别为  $CK_3$  处理的 1.04, 1.17, 1.27 倍,达显著性差异(p < 0.05)。

不同处理同一生育期氮素积累强度大小顺序为:  $W_iP_3 > W_iP_2 > W_iP_1$ 。各处理烟株氮素积累强度都在旺长期达到高峰, $W_3P_3$  处理处理烟株氮素积累强度最高,为 1.82 kg/(hm² • d),CK<sub>1</sub> 最低,为 0.91 kg/(hm² • d)。各处理中, $W_3P_2$  处理烟株氮素净积累强度最高,为 0.80 kg/(hm² • d),CK<sub>1</sub> 处理最低,为 0.28 kg/(hm² • d)。 $W_iP_3$  和 CK<sub>3</sub> 处理中, $W_iP_3$  处理氮素净积累强度分别为 CK<sub>3</sub> 处理的 0.98,1.09,1.12 倍。

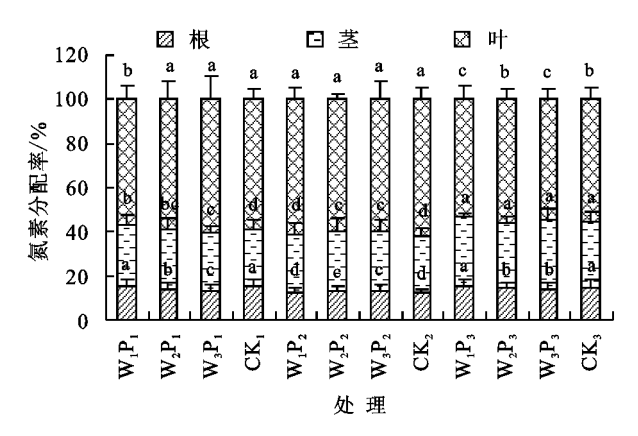
2.1.2 不同处理烟株各器官氮素分配差异 从表 1 和图 2 可以看出,不同处理各器官在还苗期、伸根期和成熟期氮素积累量低,积累强度小。不同处理烟株同一生育期相比,根、茎、叶各器官中氮积累量均表现为: $W_iP_3>W_iP_2>W_iP_1,W_iP_i$ 处理烟株总吸氮量一般要高于  $CK_i$ 处理。相同处理同一生育期相比,烟株根、茎、叶氮积累量均以叶最高,其次是茎,根最低,叶中氮积累量大于茎、根之和;旺长期根、茎和叶中氮素净积累量最高均为  $W_3P_3$  处理,其值依次为 10.82, 23.94,38.15  $kg/hm^2$ ,最低的均为  $CK_1$  处理,其值依次为 5.37,10.19,20.85  $kg/hm^2$ 。

不同处理同一生育期相同器官相比,旺长期氮积累强度均达生育期内最高值,根、茎、叶中氮素积累强度最高均为 $W_3P_3$ 处理,其值依次为 0. 27,0. 60,0. 95 kg/(hm²·d),最低均为 $CK_1$ 处理,其值依次为 0. 13,0. 25,0. 52 kg/(hm²·d)。

表 1 不同处理烤烟氮素吸收积累量与积累强度

				表 1	不同处理烤烟氮素吸收积累量与积累强度						
		移栽后	根				叶		全株		
处理	生育期	天数/d	积累量/	积累强度/	积累量/	积累强度/	积累量/	积累强度/	积累量/	积累强度/	积累率/
		入奴/u	(kg • hm <sup>-2</sup> )	$(kg \cdot hm^{-2} \cdot d^{-1})$	(kg • hm <sup>-2</sup> )	$(kg \cdot hm^{-2} \cdot d^{-1})$	(kg • hm <sup>-2</sup> )	$(\mathrm{kg} \cdot \mathrm{hm}^{-2} \cdot \mathrm{d}^{-1})$	(kg • hm <sup>-2</sup> )	$(kg \cdot hm^{-2} \cdot d^{-1})$	%
$W_1 P_1$	1	18	0.31c	0.02	0.34e	0.02	2.96e	0.16	3.61e	0.20	5.61
	2	40	1.82c	0.07	3.57e	0.15	12.38d	0.43	17.77d	0.64	27.60
	3	80	8.67c	0.17	16.05e	0.31	34.17c	0.54	58.89e	1.03	91.47
	4	110	9.83d	0.04	18.02d	0.07	36.53d	0.08	64.38e	0.18	100.00
$W_2 P_1$	1	18	0.46b	0.03	0.47d	0.03	4.70c	0.26	5.63d	0.31	6.96
	2	40	2.18b	0.08	4.24d	0.17	14.67c	0.45	21.09c	0.70	26.06
	3	80	10.51c	0.21	20.72c	0.41	44.85b	0.75	76.08c	1.37	94.01
	4	110	11.19c	0.02	22.11c	0.05	47.63c	0.09	80.93c	0.16	100.00
	1	18	0.53a	0.03	0.55c	0.03	5.46b	0.30	6.54d	0.36	7.47
	2	40	2.26b	0.08	4.46d	0.18	16.21b	0.49	22.93c	0.75	26.20
$W_3 P_1$	3	80	10.95b	0.22	21.61c	0.43	49.71b	0.84	82.27b	1.48	93.99
	4	110	11.81c	0.03	23.08c	0.05	52.64b	0.10	87.53c	0.18	100.00
	1	18	0.26d	0.01	0.31e	0.02	3.35d	0.19	3.92e	0.22	6.70
277	2	40	1.71c	0.07	3.32e	0.14	12.66d	0.42	17.69d	0.63	30.25
$CK_1$	3	80	7.08d	0.13	13.51e	0.25	33.51c	0.52	54.10e	0.91	92.53
	4	110	8.79d	0.06	15.06e	0.05	34.62d	0.04	58.47e	0.15	100.00
$W_1 P_2$	1	18	0.38c	0.02	0.51c	0.03	4.63c	0.26	5.52d	0.31	6.91
	2	40	1.86c	0.07	3.92e	0.16	14.92bc	0.47	20.70c	0.69	25.93
	3	80	9.17c	0.18	19. 23d	0.38	46.17b	0.78	74.57c	1.35	93.40
	4	110	10.21d	0.03	20.57d	0.04	49.06c	0.10	79.84d	0.18	100.00
$W_2 P_2$	1	18	0.49a	0.03	0.57c	0.03	5.45b	0.30	6.51c	0.36	7.22
	2	40	2.35b	0.08	4. 65d	0.19	16.63b	0.51	23. 63b	0.78	26. 22
	3	80	11.81b	0.24	22.89c	0.46	50.36a	0.84	85.06b	1.54	94. 37
	4	110	12.19c	0.01	24. 23c	0.04	53.71b	0.11	90. 13b	0.17	100.00
	1	18	0.56a	0.03	0.58c	0.03	5. 62b	0.31	6.76c	0.38	7.07
	2	40	2.39b	0.08	4. 84d	0.19	17.50a	0.54	24. 73b	0.82	25. 87
$W_3P_2$	3	80	11.89b	0.24	23. 71c	0.47	53.87a	0.91	89. 47b	1.62	93.61
	4	110	12.84c	0.03	25. 69c	0.07	57.05a	0.11	95. 58b	0.20	100.00
	1	18	0.31c	0.02	0. 45d	0.03	4.37c	0.24	5. 13d	0.29	7. 21
	2	40	1.82c	0.02	4. 08d	0.03	13.61c	0.42	19.51c	0.65	27. 43
$CK_2$	3	80	7.72d	0.15	15. 81e	0.29	42.13	0.71	65.66d	1.15	92.32
	4	110 18	9.01d 0.42b	0.04	17. 83d 0. 56c	0.07	44. 28c 5. 31b	0.07	71. 12d 6. 29c	0.18	100.00 6.96
				0.02		0.03		0.30		0.35	
$W_1P_3$	2	40	2.53b	0.10	5. 73c	0.24	15.92b	0.48	24. 18b	0.81	26.74
	3	80	12.65a	0.25	26. 15b	0.51	45.38b	0.74	84. 18b	1.50	93.10
	4	110	13.91b	0.04	28. 37b	0.07	48.14c	0.09	90. 42b	0.21	100.00
	1	18	0.53a	0.03	0.64b	0.04	5.96a	0.33	7. 13b	0.40	6.99
$W_2 P_3$	2	40	3. 21a	0.12	7. 13b	0.30	17.35a	0.52	27.69a	0.93	27. 15
2-0	3	80	13.48a	0.26	27. 86b	0.52	54.31a	0.92	95.65a	1.70	93.79
	4	110	14.71a	0.04	29. 74b	0.06	57.53a	0.11	101. 98a	0.21	100.00
	1	18	0.61a	0.03	0.81a	0.05	6.81a	0.38	8. 23a	0.46	7.46
$W_3 P_3$	2	40	3.53a	0.13	8.62a	0.36	18.91a	0.55	31.06a	1.04	28.14
W313	3	80	14.35a	0.27	32, 56a	0.60	57.06a	0.95	103.97a	1.82	94.19
	4	110	15.70a	0.05	34.41a	0.06	60.27a	0.11	110.38a	0.21	100.00
	1	18	0.40b	0.02	0.50c	0.03	5.29b	0.29	6.19c	0.34	7.12
CK <sub>3</sub>	2	40	2.61b	0.10	5.68c	0.24	15.01bc	0.44	23.30b	0.78	26.81
U-13	3	80	11.72b	0.23	24.71c	0.48	46.13b	0.78	82.56b	1.48	94.99
	4	110	12.98c	0.04	25.52c	0.03	48.41c	0.08	86.91c	0.15	100.00

注:1表示还苗期;2表示伸根期;3表示旺长期;4表示成熟期;同列数字后不同小写字母表示处理间在0.05水平上差异显著。下同。



注:图中不同小写字母表示处理间在 0.05 水平差异显著。下同。

### 图 2 各处理烟株不同器官中氮素分配率

## 2.2 不同处理烤烟磷素吸收积累规律及在各器官 中的分配

2.2.1 不同处理烟株磷素吸收积累差异 由表 2 可知,不同水磷耦合处理全生育期内烟株的磷吸收积累规律相似,即烟株的还苗期和伸根期吸收磷素较少,到旺长期烟株吸磷量急剧增加,成熟期吸磷量又急剧减少,磷积累量随着烟株生长发育期的后移而逐渐增大。各处理烟株旺长期磷素累积积累量占总吸磷量的 92.14%~95.98%,净吸磷量占总吸磷量的 64.78%~81.85%,成熟期烟株吸磷量仅占总吸磷量的 4.02%~7.86%,说明烟株的磷吸收积累主要集中在生长的前中期,成熟期吸磷很少。

不同磷水平下, $W_iP_3$  处理烟株磷素吸收积累量较高, $W_iP_1$  处理烟株磷素吸收积累量较低。 $W_1P_i$ 、 $W_2P_i$ 和 $W_3P_i$ 处理均高于  $CK_i$ 处理。 $W_iP_3$  和  $CK_3$  处理中, $W_3P_3$ 处理吸磷量最高,为 24. 40 kg/hm²,  $CK_3$  处理吸磷量最低,为 20. 02 kg/hm²,  $W_iP_3$  处理吸磷量分别为  $CK_3$  处理的1. 10,1. 12,1. 22 倍,达显著性差异(p<0. 05)。

不同处理同一生育期磷素积累强度大小顺序为:  $W_i P_3 > W_i P_2 > W_i P_1$ 。各处理烟株磷素积累强度都在旺长期达到峰值, $W_3 P_3$  处理烟株磷素累积积累强度最高,为 0. 42 kg/(hm² • d), $W_1 P_1$  处理最低,为 0. 24 kg/(hm² • d)。各处理磷素积累强度差异较大, $W_i P_1$  处理磷积累强度增幅明显小于  $W_i P_3$  和  $W_i P_2$  处理。

2.2.2 不同处理烟株各器官磷素分配差异 从表 2 和图 3 可以看出,不同处理烟株各器官在还苗期、伸根期和成熟期磷素积累量低,积累强度小。不同处理烟株同一生育期相比,根、茎、叶各器官中磷积累量均表现为: $W_iP_3 > W_iP_2 > W_iP_1$ , $W_iP_i$ 处理均高于  $CK_i$ 处理。相同处理同一生育期相比,烟株根、茎、叶磷积累量都以叶最高,其次是茎,根最低,除  $W_1P_1$  和  $W_2P_3$  处理外,叶中磷积累量均大于或等于茎、根中磷积累量之和;旺长期根、茎和叶中磷素净积累量最高为  $W_1P_3$ 、 $W_3P_3$  和  $W_3P_2$  处理,其值依次为 3. 24,5. 59,8. 65 kg/hm²,最低的为

 $CK_1$ 、 $W_1P_1$  和  $W_1P_1$  处理,其值依次为 1. 69,3. 47,4. 52  $kg/hm^2$ 。不同处理同一生育期相同器官相比,旺长期磷积累强度均达生育期内最高值,根、茎、叶中磷积累强度最高为  $W_3P_3$  ( $W_1P_3$  和  $CK_3$ )、 $W_3P_3$  ( $W_3P_2$ ) 和  $W_3P_2$  处理,其值依次为0. 08,0. 14,0. 22  $kg/(hm^2 \cdot d)$ 。

### 2.3 不同处理烤烟钾素吸收积累规律及在各器官中 的分配

2.3.1 不同处理烟株钾素吸收积累差异 由表 3 可知,不同水磷耦合处理,全生育期内烟株的钾吸收积累规律相似,即烟株的还苗期和伸根期吸收钾素较少,到旺长期烟株吸钾量急剧增加,成熟期吸钾量又大幅度减少,钾积累量随着烟株生长发育期的后移而逐渐增大。各处理烟株旺长期钾素积累量占总吸钾量的 84.91%~92.03%,净吸钾量占总吸钾量的 66.22%~74.01%,成熟期烟株吸钾量占总吸钾量的 7.97%~15.09%,说明烟株的钾吸收积累主要集中在生长的前中期,成熟期吸钾较少。

高、中、低量磷肥和不同灌水量耦合的各处理中,烟株总吸钾量以  $W_i P_3$  处理较高, $W_i P_1$  处理较低。  $W_i P_i$ 处理烟株总吸钾量一般高于  $CK_i$ 处理。  $W_i P_3$  和  $CK_3$  处理中, $W_3 P_3$  处理吸钾量最高,为 185. 97  $kg/hm^2$ , $CK_3$  处理吸钾量最低,为 161. 52  $kg/hm^2$ , $W_i P_3$  各处理吸钾量分别为  $CK_3$  处理的 1. 02,1. 09,1. 15倍,达显著性差异 (p < 0.05)。

不同处理同一生育期钾素积累强度大小顺序为:  $W_iP_3>W_iP_2>W_iP_1$ 。各处理烟株钾素积累强度均在旺 长期达到高峰, Wa Pa 处理烟株钾素积累强度最高达 3.08 kg/(hm² • d),CK1 处理烟株钾素积累强度最低为 1.89 kg/(hm² · d)。各处理钾素积累强度差异较大,W<sub>i</sub>  $P_1$  处理钾积累强度增幅明显小于  $W_iP_3$  和  $W_iP_2$  处理。 2.3.2 不同处理烟株各器官钾素分配差异 从表 3 和图 4 可以看出,不同处理烟株各器官在还苗期、伸 根期和成熟期钾素积累量低,积累强度小。不同处理 烟株同一生育期相比,根、茎、叶各器官中钾积累量均 表现为: $W_iP_3>W_iP_2>W_iP_1$ , $W_iP_i$ 处理烟株总吸钾 量均高于 CK,处理。相同处理同一生育期相比,烟株 根、茎、叶钾积累量均以叶最高,其次是茎,根最低,叶 中钾积累量大于茎、根之和;旺长期根、茎和叶中钾素 净积累量最高的为  $W_3 P_2 \setminus W_3 P_3$  和  $W_3 P_3$  处理,其值 依次为 21.72,29.28,73.12 kg/hm²,最低的均为 CK<sub>1</sub> 处理,其值依次为 12.62,17.77,45.16 kg/hm<sup>2</sup>。

不同处理同一生育期相同器官相比, 旺长期根、茎和叶中钾素积累强度最高的依次为  $W_3P_2$ 、 $W_3P_2$  和  $W_3P_3$  处理, 其值依次为 0.54, 0.73, 1.83 kg/(hm²·d), 最低的均为  $CK_1$  处理, 其值依次为 0.32, 0.44, 1.13 kg/(hm²·d)。

表 2 不同处理烤烟磷素吸收积累量与积累强度

	生育期	移栽后 天数/d	根					<u> </u>	全株		
处理			积累量/	积累强度/	积累量/	 积累强度/	积累量/	 积累强度/	积累量/	积累强度/	积累率/
			(kg • hm <sup>-2</sup> )	$(kg \cdot hm^{-2} \cdot d^{-1})$	(kg • hm <sup>-2</sup> )	$(kg \cdot hm^{-2} \cdot d^{-1})$	(kg • hm <sup>-2</sup> )	$(kg \cdot hm^{-2} \cdot d^{-1})$	(kg • hm <sup>-2</sup> )	$(kg \cdot hm^{-2} \cdot d^{-1})$	%
	1	18	0.07d	0	0.07e	0	0.36f	0.02	0.50f	0.03	3.99
W D	2	40	0.41d	0.02	0.38e	0.01	1.15e	0.04	1.94e	0.07	15.48
$W_1 P_1$	3	80	2.13e	0.04	3.85e	0.09	5.67g	0.11	11.65f	0.24	92.98
	4	110	2. 16d	0	4.21d	0.01	6.16e	0.02	12.53f	0.03	100.00
	1	18	0.08d	0	0.07e	0	0.45e	0.03	0.60e	0.03	4.21
W D	2	40	0.45c	0.02	0.42e	0.02	1.31e	0.04	2.18d	0.07	15.30
$W_2 P_1$	3	80	2. 26d	0.05	4.36d	0.10	6.51f	0.13	13.13e	0.27	92.14
	4	110	2.31d	0	4.71c	0.01	7.23d	0.02	14.25e	0.04	100.00
	1	18	0.08d	0	0.08e	0	0.47e	0.03	0.63e	0.04	4.00
$W_3 P_1$	2	40	0.47c	0.02	0.41e	0.02	1.35e	0.04	2.23d	0.07	14.17
W <sub>3</sub> P <sub>1</sub>	3	80	2.38d	0.05	4.65d	0.11	7.65e	0.16	14.68d	0.31	93.27
	4	110	2.41c	0	4.92c	0.01	8.41c	0.03	15.74d	0.04	100.00
	1	18	0.07d	0	0.06e	0	0.38f	0.02	0.51f	0.03	3.55
CV	2	40	0.40d	0.02	0.35e	0.01	1.10e	0.03	1.85e	0.06	12.87
$CK_1$	3	80	2.09e	0.04	3.92e	0.09	7.61e	0.16	13.62e	0.29	94.71
	4	110	2. 12d	0	4.31d	0.01	7.95d	0.01	14.38e	0.03	100.00
	1	18	0.10c	0.01	0.12d	0.01	0.75c	0.04	0.97d	0.05	5.59
W D	2	40	0.51c	0.02	0.60d	0.02	1.91d	0.05	3.02d	0.09	17.40
$W_1 P_2$	3	80	2.46d	0.05	4.73c	0.10	9.16c	0.18	16.35c	0.33	94.18
	4	110	2. 53c	0	5.01c	0.01	9.82b	0.02	17.36c	0.03	100.00
	1	18	0.11c	0.01	0.13c	0.01	0.81c	0.05	1.05c	0.06	5.79
W D	2	40	0.60b	0.02	0.71c	0.03	2.30c	0.07	3.61c	0.12	19.90
$W_2 P_2$	3	80	2.78d	0.05	5.23c	0.11	9.25c	0.17	17.26b	0.34	95.15
	4	110	2.82c	0	5.54c	0.01	9.78b	0.02	18.14b	0.03	100.00
	1	18	0.13b	0.01	0.15c	0.01	0.87c	0.05	1.15c	0.06	5.26
$W_3 P_2$	2	40	0.67b	0.02	0.74c	0.03	2.37c	0.07	3.78c	0.12	17.28
11312	3	80	3.10c	0.06	6.31a	0.14	11.02a	0.22	20.43a	0.42	93.37
	4	110	3.27b	0.01	6.75a	0.01	11.86a	0.03	21.88a	0.05	100.00
	1	18	0.09c	0.01	0.10d	0.01	0.65d	0.04	0.84d	0.05	5.03
CK <sub>2</sub>	2	40	0.48c	0.02	0.51d	0.02	1.61d	0.04	2.60d	0.08	15.58
CITZ	3	80	2. 48d	0.05	4.73c	0.11	8.36d	0.17	15.57c	0.32	93.29
	4	110	2.60c	0.00	5.14c	0.01	8.95c	0.02	16.69c	0.04	100.00
	1	18	0.15b	0.01	0.17b	0.01	1.01b	0.06	1.33b	0.07	6.03
$W_1 P_3$	2	40	0.71b	0.03	1. 21b	0.05	3.21b	0.10	5.13b	0.17	23.27
"113	3	80	3.95a	0.08	5.76b	0.11	11.36a	0.20	21.07a	0.40	95.56
	4	110	4.12a	0.01	6.01b	0.01	11.92a	0.02	22.05a	0.03	100.00
	1	18	0.21a	0.01	0.23a	0.01	1.31a	0.07	1.75a	0.10	7.80
$W_2 P_3$	2	40	1.04a	0.04	1.41a	0.05	4.12a	0.13	6.57a	0.22	29. 29
11213	3	80	4.03a	0.07	6.74a	0.13	10.33b	0.16	21.10a	0.36	94.07
	4	110	4.20a	0.01	7.21a	0.02	11.02a	0.02	22.43a	0.04	100.00
	1	18	0.21a	0.01	0.25a	0.01	1.41a	0.08	1.87a	0.10	7.66
$W_3 P_3$	2	40	1.03a	0.04	1.51a	0.06	4.13a	0.12	6.67a	0.22	27.34
"313	3	80	4.22a	0.08	7.10a	0.14	12.10a	0.20	23.42a	0.42	95.98
	4	110	4.41a	0.01	7.64a	0.02	12.35a	0.01	24.40a	0.03	100.00
	1	18	0.15b	0.01	0.17b	0.01	1.21a	0.07	1.53b	0.09	7.64
CK <sub>3</sub>	2	40	0.68b	0.02	1.10b	0.04	3.25b	0.09	5.03b	0.16	25.12
CIV3	3	80	3.70b	0.08	6.05b	0.12	9.15c	0.15	18.90b	0.35	94.41
	4	110	3.72b	0.00	6.29b	0.01	10.01b	0.03	20.02b	0.04	100.00

表 3 不同处理烤烟钾素吸收积累量与积累强度

				表 3	小同处埋	烤烟钾素吸收	<b>拟</b> 累量与机	<b>兴累强</b> 度			
		表 移栽后		根	茎		叶		全株		
处理	生育期	移栽归 天数/d	积累量/	积累强度/	积累量/	积累强度/	积累量/	积累强度/	积累量/	积累强度/	积累率/
		大奴/d	$(kg \cdot hm^{-2})$	$(\mathrm{kg} \cdot \mathrm{hm}^{-2} \cdot \mathrm{d}^{-1})$	$(\mathrm{kg} \cdot \mathrm{hm}^{-2})$	$(kg \bullet hm^{-2} \bullet d^{-1})$	(kg • hm <sup>-2</sup> )	$(\mathrm{kg} \cdot \mathrm{hm}^{-2} \cdot \mathrm{d}^{-1})$	$(kg \cdot hm^{-2})$	$(kg \cdot hm^{-2} \cdot d^{-1})$	%
$W_1 P_1$	1	18	0.56e	0.03	0.87d	0.05	4. 23d	0.24	5.66e	0.31	4.78
	2	40	2.63d	0.09	5.65d	0.22	13.51d	0.42	21.79d	0.73	18.39
	3	80	16.71c	0.35	24.13e	0.46	59.75e	1.16	100.59g	1.97	84.91
	4	110	20.12c	0.11	28.21d	0.14	70.14g	0.35	118.47e	0.60	100.00
$W_2 P_1$	1	18	0.61d	0.03	0.97c	0.05	4.85c	0.27	6.43d	0.36	5.11
	2	40	2.84d	0.10	6.12c	0.23	15.70c	0.46	24.03c	0.80	19.10
	3	80	18.21b	0.38	26.16d	0.50	65.13d	1.25	109.50f	2.14	87.06
	4	110	20.52c	0.08	30.51c	0.15	74.75f	0.32	125.78e	0.54	100.00
	1	18	0.64d	0.04	1.10c	0.06	5.03c	0.28	6.77d	0.38	5.18
	2	40	2.87d	0.10	6.23c	0.23	15.70c	0.49	24.80c	0.82	18.96
$W_3 P_1$	3	80	19.70b	0.42	27.54d	0.53	67. 46d	1.29	114. 70e	2, 25	87.70
	4	110	21. 15c	0.05	31. 31c	0.13	78. 32f	0.36	130. 78e	0.54	100.00
	1	18	0.51e	0.03	0.74d	0.04	3. 24e	0.18	4. 49f	0.25	4. 10
	2	40	2.24e	0.08	4.91e	0.19	13. 76d	0.48	20. 91d	0.75	19.09
$CK_1$	3	80	14.86d	0.32	22. 68f	0.44	58. 92e	1.13	96. 46g	1.89	88.06
	4		14.00d 16.25d					0.28	_		
		110		0.05	25.87e	0.11	67. 42g		109. 54f	0.44	100.00
$W_1 P_2$	1	18	0.72c	0.04	1, 21b	0.07	5.71c	0.32	7. 64c	0.42	5.34
	2	40	2.87d	0.10	6.34c	0.23	15.91c	0.46	25. 12c	0.79	17.56
	3	80	21.16a	0.46	30.08c	0.59	74. 38c	1.46	125. 62d	2.51	87.81
	4	110	23.39b	0.07	34.13c	0.14	85.54e	0.37	143.06d	0.58	100.00
	1	18	0.78c	0.04	1.27b	0.07	6.04b	0.34	8.09b	0.45	5.36
$W_2 P_2$	2	40	3.23c	0.11	6.82c	0.25	16.36c	0.47	26.41c	0.83	17.49
11212	3	80	22.19a	0.47	32.15b	0.63	79.41c	1.58	133.75c	2.68	88.59
	4	110	24.68a	0.08	36.16c	0.13	90.13d	0.36	150.97c	0.57	100.00
	1	18	0.86b	0.05	1.45b	0.08	5.56c	0.31	7.87c	0.44	4.77
W D	2	40	3.61b	0.13	7.61b	0.28	18.17b	0.57	29.39b	0.98	17.80
$W_3 P_2$	3	80	25.33a	0.54	36.82a	0.73	89. 42b	1.78	151.57a	3.05	91.82
	4	110	27.41a	0.07	40.16a	0.11	97.51c	0.27	165.08b	0.45	100.00
	1	18	0.73c	0.04	1.20b	0.07	5.73c	0.32	7.66c	0.43	5.37
CK <sub>2</sub>	2	40	3.14c	0.11	6.71c	0.25	16.39c	0.48	26.24c	0.84	18.40
$CK_2$	3	80	21.50a	0.46	31.01c	0.61	78.71c	1.56	131. 22c	2.62	92.03
	4	110	23.11b	0.05	34.31c	0.11	85.17e	0.22	142.59d	0.38	100.00
	1	18	0.86b	0.05	1.31b	0.07	6.34b	0.35	8.51b	0.47	5.15
$W_1 P_3$	2	40	3.84b	0.14	8.12b	0.31	19.72b	0.61	31.68b	1.05	19.19
W 1 I 3	3	80	24.71a	0.52	35.92a	0.70	88. 59b	1.72	149.22a	2.94	90.37
	4	110	26.14a	0.05	40.31a	0.15	98.67c	0.34	165.12b	0.53	100.00
	1	18	0.95a	0.05	1.65a	0.09	7.52a	0.42	10.12a	0.56	5.76
W P	2	40	4.12a	0.14	9.93a	0.38	24.17a	0.76	38. 22a	1.28	21.77
$W_2 P_3$	3	80	25.15a	0.53	38.71a	0.72	95.65a	1.79	159.51a	3.03	90.85
$W_3 P_3$	4	110	27.31a	0.07	43.23a	0.15	105.04a	0.31	175.58a	0.54	100.00
	1	18	1.04a	0.06	1.70a	0.09	7.18a	0.40	9.92a	0.55	5.33
	2	40	4.61a	0.16	10.13a	0.38	24.5a	0.79	39.30a	1.34	21.13
	3	80	25.36a	0.52	39.41a	0.73	97.68a	1.83	162.45a	3.08	87.35
	4	110	27.72a	0.08	45.52a	0.20	112.73a	0.50	185.97a	0.78	100.00
	1	18	0.85b	0.05	1.34b	0.07	6.28b	0.35	8. 47b	0.47	5.24
CK <sub>3</sub>	2	40	3.68b	0.13	8.61b	0.33	18.35b	0.55	30.64b	1.01	18.97
CK3	3	80	23.61a	0.50	34.81b	0.66	87. 37b	1.73	145. 79b	2.88	90.26
	4	110	25.09a	0.05	39.37b	0.15	97.06c	0.32	161.52b	0.52	100.00

## 2.4 不同处理烤烟氮磷钾吸收比例

由表  $1\sim$ 表 3 中的数据可计算出每生产 100~kg 干烟叶  $CK_1$  处理需要的氮最少,为 2.69~kg, $W_2P_3$  处理需要的氮最多,为 3.81~kg; $W_1P_3$  处理需要的磷最

8,为 0.24 kg,  $W_2$   $P_1$  和  $W_3$   $P_1$  处理需要的磷最少,为 0.18 kg;  $CK_2$  处理需要的钾最多,为 2.00 kg,  $W_3$   $P_1$  处理需要的钾最少为 1.49 kg; 其他处理所需氮磷钾的量介于上述最大量和最小量之间。由表 4 可以看

出,各处理烤烟吸磷量相差不大,但吸钾量差别较大。

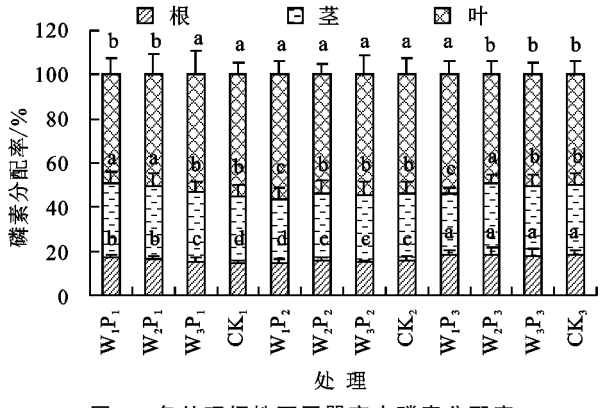


图 3 各处理烟株不同器官中磷素分配率

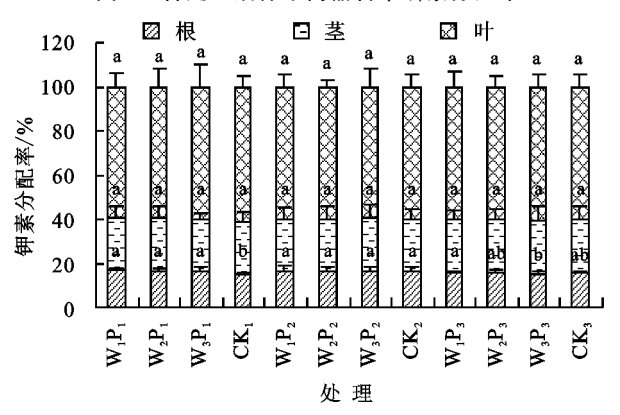


图 4 各处理烟株不同器官中钾素分配率

# 3 讨论

作物对水分和养分的吸收虽然是两个独立的过程,但水分和养分对于作物生长的作用却是相互制约和相互影响的<sup>[14]</sup>。有研究<sup>[15]</sup>表明,磷的作物有效性与土壤的水分条件密切相关,水与磷的投入水平共同影响作物对磷的吸收。一方面,水分使作物根系发生生理适应性改变,影响作物根系的大小,使之形成理想的根系构型,即表层土壤有大量根系分布和具有发达的深层根系<sup>[15]</sup>,增加根系和土壤的接触面积<sup>[16]</sup>,理

想的根系构型可显著提高养分的有效性[17];水分显 著影响根系的生长发育和根分泌物的释放,根分泌物 增加,提高作物对土壤养分的获取效率,进而影响植 物对根际养分的吸收[16];另一方面,水分也是养分的 良好溶剂,作为养分的载体对养分的运输转运和吸收 有着至关重要的意义,其丰缺与否直接影响到土壤中 有效养分的数量,还影响到通过扩散和质流方式向根 系迁移养分的速率,对磷的影响尤为重要,磷在土壤 中易被胶体吸附和固定,移动性差,通过截获和质流 被根系吸收的磷很少,不到植物总需磷量的5%,扩 散是植物获取土壤中磷的主要途径[18],而土壤含水 量高低不仅影响磷的扩散速率,同时还决定根系吸收 土壤磷的范围。通常土壤中的可溶性磷吸附在土壤 颗粒表面,存在于土壤微细孔隙中的水膜是磷扩散的 介质,一旦水膜中断,土壤中可溶性磷便无法在土粒 间进行扩散。当土壤体积水分含量从 0.3 cm3/cm3 降至 0.2 cm³/cm³,下降 0.1 个单位,磷的扩散速率 下降 98%,在增加土壤水分含量后,土壤磷的扩散速 率增加,根系吸收磷的速率显著上升[19]。但水分过 多时作物根系生长受到抑制,根系生物量减少,根系 分布浅,不利于根系对深层土壤养分的吸收利用[20]; 水分过多可稀释土壤中的养分,降低其浓度,加速养 分的流失,降低肥料的利用率[21],从而减少作物对养 分的吸收量。本试验的结果表明,同一供磷水平下, 各灌水处理烟株的根、茎、叶各器官和全株吸收氮、 磷、钾养分的量均高于或显著高于各自对照,说明灌 水处理可提高氮、磷、钾养分的有效性,促进作物对 氮、磷、钾的吸收,水分促进烟株对养分的吸收和利用, 水磷间存在耦合效应;本研究中,不同灌水量下,不同处 理烟株对养分的吸收量表现为  $W_3P_i > W_2P_i > W_1P_i$ , 说明本研究设置的高量灌水处理促进烤烟对氮、磷、 钾吸收的效果优于中量和低量灌水处理。

表 4 各处理烤烟氮磷钾吸收比例

农 * 一百又生的 构筑 辨 中 饭 仅 记 的									
AL TH	吸氮量/	吸磷量/	吸钾量/	产量/	氮磷钾吸收				
处理	$(kg \cdot hm^{-2})$	$(kg \cdot hm^{-2})$	$(kg \cdot hm^{-2})$	$(kg \cdot hm^{-2})$	比例				
$\mathbf{W}_1 \mathbf{P}_1$	64.38e	12.53f	118.47e	2146.65f	1 : 0.19 : 1.84				
$\mathbf{W}_2\mathbf{P}_1$	80.93c	14.25e	125.78e	2329.51e	1: 0.18: 1.55				
$\mathbf{W}_3\mathbf{P}_1$	87.53c	15.74d	130.78e	2424.74d	1: 0.18: 1.49				
$CK_1$	58.47e	14.38e	109.54f	2176.32f	1: 0.25: 1.87				
$\mathbf{W}_1\mathbf{P}_2$	79.84d	17.36c	143.06d	2491.80c	1: 0.22: 1.79				
$\mathbf{W}_2\mathbf{P}_2$	90.13b	18. 14b	150.97c	2522.56c	1 : 0.20 : 1.68				
$\mathbf{W}_{\scriptscriptstyle 3}\mathbf{P}_{\scriptscriptstyle 2}$	95.58b	21.88a	165.08b	2846.25a	1: 0.23: 1.73				
$CK_2$	71.12d	16.69c	142.59d	2289.60e	1: 0.23: 2.00				
$\mathbf{W}_1\mathbf{P}_3$	90.42b	22.05a	165.12b	2516.71c	1: 0.24: 1.83				
$\mathbf{W}_2\mathbf{P}_3$	101.98a	22.43a	175.58a	2675.83b	1: 0.22: 1.72				
$\mathbf{W}_3\mathbf{P}_3$	110.38a	24.40a	185.97a	2931.37a	1: 0.22: 1.68				
$CK_3$	86.91c	20.02b	161.52b	2487. 18c	1: 0.23: 1.86				

有研究[22]表明,适量增施磷肥能促进作物对氮

的吸收,提高氮素利用率。在一定范围内,适量增施

磷肥可提高作物对水分和磷素的吸收利用效率[6]。 王艳丽等[23]的研究表明,适量施磷可促进烟株对氮、 磷、钾养分的吸收和积累,对促进钾的吸收作用尤其 显著,同时也发现,当施磷超过一定量后,促进作用反 而减弱;张海伟等[12]的研究也表明,适宜的磷肥施用 量可促进烟株对氮、磷、钾的吸收,提高肥料的利用 率,过高或过低的磷肥施用量都会减少烟株对氮、磷 和钾的吸收量,降低肥料的利用率。其可能的原因是 适量而充足的磷素供应有促进作物根系延伸生长,增 加根系总长度、最大根长、根系直径和根体积,提高根 系比表面积,提高根系活力,提高根水势等生理作 用[24-25],扩大根系接触的土壤体积,提高土壤养分和 水分的有效性[26]。磷素养分供应能促进烟株根系发 育,叶片扩展,构建良好的根、冠结构,促进烟株形成 良好的生理功能[4]。磷素营养能促进作物对水分、养 分的吸收和利用,尤其能扩大对土壤深层水分和养分 的吸收利用[27-28]。而根系作为烤烟吸收养分和水分 的主要器官,其生理功能的强弱直接影响烟株对养分 的吸收利用,对地上部的生长发育产生重要的促进作 用,同时地上部较好的生长也会促使根系生长较为旺 盛,且形成良好的根系构型,根系与地上部分的生长 存在相互促进、相互依存的关系。植株具有发达的根 系和良好的根系构型,具有强的吸收氮[29]、磷[30]、 钾[31]等养分和水分[32]的能力。在烤烟生产中,促进 烟株对钾的吸收,符合优质烟叶生产要求。本研究 中,在烟株的同一生育期,同一灌水量条件下,供磷量 不同时,烟株的根、茎、叶和全株对氮磷钾养分的吸收 量存在较大差异,基本呈现  $P_3W_1 > P_2W_1 > P_1W_1$  的 变化规律,说明适量施用磷肥可促进烟株对氮、磷、钾 养分的吸收,高量磷肥处理促进烟株对氮、磷、钾养分 吸收的效果优于中量和低量磷肥处理。

# 4 结论

- (1)中、高量灌水处理和磷肥处理均有利于提升 烤烟对氮、磷、钾的吸收和积累。
- (2)综合比较,施磷量为 96 kg/hm²、灌水量为 1.00~2.00 L/株的水磷耦合处理对于促进烟叶氮磷钾养分吸收和积累,以及提升烟叶质量的效果较好。

#### 参考文献:

- [1] 龚婷,刘善丽,尹国瞩,等.烟草生长、光合特性及品质对水分胁迫的响应研究[J].西南师范大学学报(自然科学版),2017,42(8):64-69.
- [2] 杨苹,程智敏,陈叙生,等.土壤水分调控对烤烟根系、植株形态及生理特性的影响[J].贵州农业科学,2017,45(9):21-23.
- [3] 韦建玉,金亚波,郭晓惠,等.不同生育期水分亏缺对烤

烟干物质积累与代谢酶活性的影响[J]. 西南农业学报,2016,29(5):1081-1085.

第 33 卷

- [4] 王艳丽,王京,刘国顺,等. 磷施用量对烤烟根系生理及叶片光合特性的影响[J]. 植物营养与肥料学报,2016,22(2):410-417.
- [5] 门思润,朱列书,彭妙.磷肥类型及施用量对烤烟光合特性的影响[J]. 江苏农业科学,2018,46(9):76-79.
- [6] 王瑜,宁堂原,迟淑筠,等.不同施磷水平下灌水量对小麦水分利用特征及产量的影响[J].水土保持学报,2012,26(3):232-237.
- [7] Singh D K, Sale P W G, Pallaghy C K, et al. Role of proline and leaf expansion rate in the recovery of stressed white clover leaves with increased phosphorus concentration[J]. New Phytologist, 2000, 146(2):261-269.
- [8] 唐宏亮,马领然,张春潮,等.水分和磷对苗期玉米根系形态和磷吸收的耦合效应[J].中国生态农业学报,2016,24(5):582-589.
- [9] 韩天华,贺彪,张晓海,等. 云南丽江山地烤烟滴灌水肥 一体化技术[J]. 农业工程技术,2018,38(17):22-23.
- [10] 霍昭光,孙志浩,邢雪霞,等.北方烟区水肥一体化对烤烟生长、根系形态、生理及光合特性的影响[J].中国生态农业学报,2017,25(9):1317-1325.
- [11] 王政,刘久羽,王加荣,等. 红壤条件下水氮耦合对烤烟促生及烟叶品质的影响[J]. 江西农业学报,2018,30(1):91-94.
- [12] 张海伟,翟晶,程小强,等. 施磷量对紫色土旱地烤烟养分吸收和利用的影响[J]. 湖北农业科学,2014,53 (12):2767-2770.
- [13] 鲍士旦. 土壤农化分析[M]. 3 版. 北京: 中国农业出版 社,2007.
- [14] 张赛,王龙昌,石超,等.水肥耦合对玉米化学计量学特征及其生长性状的影响[J].水土保持学报,2018,32 (5):252-261.
- [15] 王昕,李海港,程凌云,等.磷与水分互作的根土界面效应及其高效利用机制研究进展[J].植物营养与肥料学报,2017,23(4):1054-1064.
- [16] 庞春花,张紫薇,张永清.水磷耦合对藜麦根系生长、生物量积累及产量的影响[J].中国农业科学,2017,50 (21):4107-4117.
- [17] Jiao X, Lyu Y, Wu X, et al. Grain production versus resource and environmental costs: Towards increasing sustainability of nutrient use in China [J]. Journal of Experimental Botany, 2016, 67(17): 4935-4949.
- [18] Lamers H, Chapin Iii F S, Pons T L. Plant physiological ecology[J]. Photosynthetica, 2008, 37(3):446.
- [19] Bhadoria P B S, Kaselowsky J, Claassen N, et al. Phosphate diffusion coefficients in soil as affected by bulk density and water content [J]. Journal of Plant Nutrition and Soil Science, 1991, 154(1):53-57.

(下转第316页)

- [17] Yang X, Liu J, Mcgrouther K, et al. Effect of biochar on the extractability of heavy metals (Cd, Cu, Pb, and Zn) and enzyme activity in soil[J]. Environmental Science and Pollution Research, 2016, 23(2):974-984.
- [18] 潘萌娇. 燕山山脉木材热裂解规律及生物质油特性实验研究「D」, 天津:河北工业大学, 2014.
- [19] 杨兴,黄化刚,王玲,等. 烟秆生物质炭热解温度优化及理化性质分析[J]. 浙江大学学报(农业与生命科学版),2016,42(2);245-255.
- [20] 罗煜,赵立欣,孟海波,等.不同温度下热裂解芒草生物质炭的理化特征分析[J].农业工程学报,2013,29 (13):208-217.
- [21] 罗凯,陈汉平,王贤华,等. 生物质焦及其特性[J]. 可再生能源,2007,25(1):17-19.
- [22] 刘志龙. 麻栎炭用林种源选择与关键培育技术研究 [D]. 南京: 南京林业大学, 2010.
- [23] 李桥,高屿涛. 生物质炭对水中重金属吸附研究进展 [J]. 低碳世界,2016(22):13-15.
- [24] 吴瑾光. 近代傅里叶变换红外光谱技术及应用[M]. 北京:科学技术文献出版社,1994.
- [25] 张越,林珈羽,刘沅,等.改性生物炭对镉离子吸附性能研究[J].武汉科技大学学报,2016,39(1):48-52.
- [26] 王月瑛,吕贻忠. 酸洗处理对生物质炭表面吸附特性及 光谱特性的影响[J]. 光谱学与光谱分析,2016,36 (10):3292-3296.

#### (上接第302页)

- [20] 张均,贺德先,段增强.水磷耦合对小麦次生根特殊根 毛形态与结构的影响[J].生态学报,2011,31(11):3110-3119.
- [21] 潘晓莹,武继承.水肥耦合效应研究的现状与前景[J]. 河南农业科学,2011,40(10);20-23.
- [22] 陈远学,周涛,王科,等. 施磷对麦/玉/豆套作体系氮素利用效率及土壤硝态氮含量的影响[J]. 水土保持学报,2014,28(3):191-196.
- [23] 王艳丽,刘国顺,丁松爽,等. 磷用量对烤烟根系及其与 地上部关系的影响[J]. 应用生态学报,2015,26(5): 1440-1446.
- [24] 江厚龙,徐宸,汪代斌,等.不同磷素水平对烟苗根系生长和光合生理特性的影响[J].福建农业学报,2015,30 (7):656-661.
- [25] 宋欣,孙敏,高志强,等.旱地小麦休闲期覆盖增磷对籽粒蛋白质积累的影响[J].激光生物学报,2015,24(4):390-398.
- [26] 蔡赛男. 不同根构型烤烟对氮素、钾素吸收与利用的研

- [27] 温婧,朱元骏,张兴昌,等. 砒砂岩修复晋陕蒙能源区铅污染土壤的研究[J]. 环境科学学报,2015,35(3):873-879.
- [28] 孙红文. 生物炭与环境[M]. 北京: 化学工业出版社, 2013.
- [29] 周以力,吴建一. 壳聚糖对铅离子吸附的研究[J]. 嘉兴 学院学报,2003,15(6):20-21.
- [30] 梁东旭,罗春燕,周鑫,等.改性小麦壳对水溶液中 Cd<sup>2+</sup>的吸附研究[J].农业环境科学学报,2015,34 (12):2364-2371.
- [31] 周尊隆,卢媛,孙红文. 菲在不同性质黑炭上的吸附动力学和等温线研究[J]. 农业环境科学学报,2010,29 (3):476-480.
- [32] Vimonses V, Lei S, Bo J, et al. Kinetic study and equilibrium isotherm analysis of Congo Red adsorption by clay materials [J]. Chemical Engineering Journal, 2010,148(2):354-364.
- [33] 张伟,王维清,王德志,等. 磁性斜发沸石对溶液中 Pb<sup>2+</sup>的 吸附性能[J]. 安徽农业科学,2015,43(27):206-208.
- [34] 秦婷婷,王兆炜,朱俊民,等. 花椰菜基生物炭对水中Pb(Ⅱ)的吸附性能[J]. 环境科学学报,2017,37(8): 2977-2988.
- [35] 景明. 生物炭对土壤中六价铬和莠去津的吸附锁定作用研究[D]. 北京: 中国地质大学(北京), 2015.
- [36] 郭林中,韦瑞杰,王海潮,等.改性活性炭的制备及其对金 吸附性能的研究[J].岩矿测试,2014,33(4):528-534.
  - 究[D]. 长沙:湖南农业大学,2015.
- [27] 危锋,郝明德. 黄土旱塬长期施肥对小麦连作土壤养分和水分的影响[J]. 中国水土保持科学,2011,9(4):104-109.
- [28] 高艳梅,孙敏,高志强,等. 旱地小麦休闲期覆盖施磷对土壤水库的调控作用[J]. 中国生态农业学报,2014,22 (10):1139-1145.
- [29] Sattelmacher B, Horst W J, Becker H C. Factors that contribute to genetic variation for nutrient efficiency of crop plants[J]. Journal of Plant Nutrition and Soil Science, 2010, 157(3): 215-224.
- [30] Ao J H, Fu J B, Tian J A, et al. Genetic variability for root morph-architecture traits and root growth dynamics as related to phosphorus efficiency in soybean [J]. Functional Plant Biology, 2010, 37(4):304-312.
- [31] 何冰,韩助君,薛刚,等.不同基因型烤烟钾吸收特性差异及吸收机理[J].应用生态学报,2015,26(11);3367-3372.
- [32] 占爱. 提高养分、水分吸收的根系形态和生理调控[D]. 陕西 杨凌:西北农林科技大学,2015.